

PMN-PT-BT/Ag/MgO 나노복합체의 제조 및 유전 특성

정순용^{†*} · 임경란 · 남 산*

한국과학기술연구원 재료연구부

*고려대학교 재료공학과

(2002년 10월 4일 접수; 2002년 11월 11일 승인)

Preparation of PMN-PT-BT/Ag/MgO Nanocomposite and Dielectric Properties

Soonyong Jeong^{†*}, Kyoung Ran Han and Sahn Nahm*

Division of Materials Science and Engineering, KIST, Seoul 130-650, Korea

*Department of Materials Science and Engineering, Korea University, Seoul 136-701, Korea

(Received October 4, 2002; Accepted November 11, 2002)

초 록

소결온도가 1200°C인 PMN-PT-BT에 소량의 AgNO₃와 MgO 줄을 첨가하여 950°C 소결로 PMN-PT-BT/Ag/MgO 나노복합체를 제조하였다. Modified mixed oxide 방법으로 제조된 저온 소결용 PMN-PT-BT/Ag 분말을 600°C/1 h 하소한 다음 MgO 줄을 0~1.0 wt% 첨가하여, 산소 분위기에서 850~950°C에서 4시간 소결하여 MgO 줄의 첨가량과 소결온도에 따른 미세구조의 발달과 유전특성을 조사하였다. MgO 줄이 0.5 wt% 첨가되고, 950°C에서 소결하여 얻은 PMN-PT-BT/Ag/MgO (0.5 wt%) 소결체는 1~3 μm의 입의 크기에 0.1~0.3 μm의 MgO가 2차상으로 입경, 삼중접, 입내에 분포되어 있음을 SEM으로 볼 수 있었으며, Ag는 SIMS로 <1 μm로 분포되어 있음을 정성적으로 확인하였다. 상대소결밀도 99%, 실온유전율 17200, 유전손실 2.1%, 비저항 $5.46 \times 10^{12} \Omega \cdot \text{cm}$ 의 특성을 나타내었다. 그러나 MgO 줄이 첨가되지 않은 PMN-PT-BT/Ag/MgO(0 wt%)의 950°C 소결체는 상대 소결밀도 99.5%, 상온유전율 19500, 유전손실 2.1%, 비저항 $7.30 \times 10^{12} \Omega \cdot \text{cm}$ 의 좀 더 높은 특성을 나타내었다.

ABSTRACT

Nanocomposite PMN-PT-BT/Ag/MgO was prepared by sintering at 950°C with addition of AgNO₃ and MgO sol to the PMN-PT-BT powder sinterable at 1200°C. The low-temperature-sinterable PMN-PT-BT/Ag powder prepared by the modified mixed oxide method was calcined at 600°C for 1 h and surface modified with the MgO sol of 0~1.0 wt% and then subjected to consolidation at 850~950°C for 4 h under a flowing oxygen. The nanocomposite PMN-PT-BT/Ag/MgO(0.5 wt%) sintered at 950°C showed the microstructure with grains of 1~3 μm, the second phase of MgO of 0.1~0.3 μm by SEM and Ag of <1 μm qualitatively by SIMS. It showed the sintered relative density of 99%, the room temperature dielectric constant of 17200, the dielectric loss of 2.1% and the specific resistivity of $5.46 \times 10^{12} \Omega \cdot \text{cm}$. But the PMN-PT-BT/Ag/MgO(0 wt%) nanocomposite sintered at 950°C showed a little better properties : the sintered relative density of 99.5%, the room temperature dielectric constant of 19500, the dielectric loss of 2.1% and the specific resistivity of $7.30 \times 10^{12} \Omega \cdot \text{cm}$.

Key words : PMN-PT-BT, Perovskite, Ag, MgO sol, Nanocomposite, SIMS

1. 서 론

페로브스카이트 PMN-PT계 유전체는 우수한 유전특성과 전해 성질로 인하여 relaxer, actuator, transducer 등 여러 분야에서 이용이 가능하여 많은 연구가 되어오고 있으나,^{1~7)} PMN-PT계 세라믹의 약한 취급 강도로 인하여 실사용에 많은 제약을 받고 있다. 일반적으로 전자세라믹은 기계적

강도가 취약하여 실제 응용에 많은 어려움을 겪고 있다. 따라서 취급 강도를 향상시키기 위한 시도로 PZT, PMN-PT, BT계 전자세라믹에 2차상으로 Pt, Ag, Ni, Ni-Co 등의 금속을 도입하거나, MgO, Al₂O₃ 등을 첨가하는 연구가 되어왔다.^{8~21)} 소량 첨가시 lattice에 chemical substitution을 일으켜 curie temperature, 유전율 등에 영향을 미치나, 고용한계를 넘어가는 첨가제는 2차상으로, 입경계, 삼중접 등에 모여 입성장을 제어하여 강도를 향상시키게 된다. 2차상은 또한 입내에서도 석출된다.^{14~17)} 일반적으로 5~20 vol%의 많은 양을 첨가하여 micron~submicron의 2차상을 가지는 복합체로 제조된다.^{15~17)} 그러나 PZT의 경우 0.1

[†]Corresponding author : Soonyong Jeong
E-mail : metalnoid@hanmail.net
Tel : +82-2-958-5541 Fax : +82-2-958-5548

vol% MgO나 0.5 vol% Al₂O₃를 첨가하였을 때 monolithic PZT의 ~8 μm의 입의 크기가 <1 μm로 감소하며, 굽힘강도가 69 MPa에서 각각 119 MPa, 115 MPa로 약 1.7배 증가하고, 파괴인성은 약 10% 감소하였다고 한다. 특히 MgO의 경우 K_p 값이 거의 감소되지 않은 38.1%을 나타내는 것은 주목할 점이었다. 그러나 MgO의 첨가량이 0.5, 1.0 vol%로 증가할 경우 굽힘강도는 약 90 MPa로 약 30% 향상되었으나 유전율은 약 30%, K_p 값은 50%로 감소하였다고 한다.¹⁴⁾ MgO/BaTiO₃계에서 MgO기지상에 20 vol%의 BaTiO₃가 2차상으로 첨가될 경우 굽힘강도가 410에서 530 MPa로 향상하고,¹⁵⁾ BaTiO₃ 기지상에 소량의 MgO가 첨가제로 도입될 때, 고용한계는 1~2 mole%이고, 과잉의 MgO는 2차상으로 XRD에 나타나며, T_c는 낮아지며, 유전율도 감소한다고 한다.¹⁷⁾ 이를 방법은 고상법을 사용한 것이며, 2차상 도입에 의한 소결온도 저하는 현저하게 나타나지 않았다.

근래에 본 연구실에서는 modified oxide method으로 우수한 유전특성을 나타내는 PMN-PT와 PMN-PT-BT/Ag의 저온 소결용 분말을 소개한 적이 있다.^{7,12)} Ag를 입자가 큰 Ag 금속 분말 대신 600°C 이하에서 분해되어 나노크기의 Ag 금속 분말을 생성하는 Ag₂O로 첨가하고 산소분위기에서 1000°C/4 h 소결로 기계적 특성이 크게 향상되어, 굽힘강도 120.7±11.26 MPa와 파괴인성 0.87±0.02 MPam^{1/2}를 나타내는 PBT/Ag 유전체를 소개한 적이 있다. SEM 사진에서 Ag는 보이지 않고, MgO만 0.8~1.5 μm 크기로 나타났다.¹³⁾

본 논문에서는 소결온도를 Ag의 용점이하로 낮추어, Ag와 MgO가 2차상으로 존재하는 나노 복합체의 제조를 시도하고, MgO 줄이 복합체의 소결밀도 및 유전특성에 미치는 영향을 조사하였다.

2. 실험

본 실험에서는 0.96[0.91Pb(Mg_{1/3}Nb_{2/3})O₃-0.09PbTiO₃]-0.04BaTiO₃의 조성을 택하였으며 이후로는 PMN-PT-BT로 나타내고자 한다. PbO(99.9% 순도, Aldrich Chem. Co., 미국), Nb₂O₅(99.9% 순도, Aldrich Chem. Co., 미국), Ti(OC₃H₇)₄ (97% 순도, Alfa Chem. Co., 미국), Mg(NO₃)₂ · 6H₂O(99% 순도, Fluka Chem. Co., 스위스), BaCO₃(99.86% 순도, Sakai Chem. Inc., 일본), AgNO₃ (99.8% 순도, Junsei Chem. Co., 일본)과 이소프로판을 구입한 상태로 사용하였다.

PbO(0.096 몰), Nb₂O₅(0.0288 몰), BaCO₃(0.004 몰)을 폴리프로필렌 통에 넣고, 적당량의 이소프로판을과 지르코니아 볼을 넣고 17시간 볼밀 후 Ti(OC₃H₇)₄ (0.01264 몰)을 첨가하고 한 시간 후에 정량의 물을 첨가하여 가수분해를 시켰다. 이 슬러리를 1시간 볼밀 후에 소량의 물

에 녹인 Mg(NO₃)₂ · 6H₂O(0.03024 몰) 용액을 첨가한 다음 2시간 더 볼밀을 하였다. 여기에 물에 녹인 3 몰% AgNO₃를 첨가하고 2시간 볼밀한 다음에 혼합 슬러리를 플라스크에 옮겨 rotary evaporator를 이용하여 용매를 제거하였다(이후 PBT/Ag 분말로 칭함). 이 분말을 600°C에서 1시간 하소하여 Ag를 생성시키며 유기물질들을 제거하였다. 이 분말에 0.1, 0.5, 1.0 wt%의 MgO 줄(Magnesium acetate를 산 가수분해 및 중합 반응으로 1.87 wt% 농도로 제조하였다.)을 첨가하고 약 30분 혼합 후 건조하였다. 이 분말 약 10 mg을 Pt/Rh 도가니에 넣고 공기를 40 cc/분으로 흘려주면서 분당 10°C로 승온하여 TG/DSC (STA409, Netzsch Co., 독일)를 측정하였다. 건조된 MgO 줄의 TG 곡선에서 볼 때 400°C 이상에서는 질량 감소가 더 이상 일어나지 않으므로, 건조한 분말을 400°C/1 h 하소한 후 100 메쉬 체를 이용하여 가름한 다음, 약 500 kg/cm²에서 일축 가압으로 10×3 mm의 페렛으로 가성형 하였다. 가성형체를 다시 25,000 psi에서 CIP한 다음, 백금으로 싸서 도가니에 넣고 PbZrO₃ 분위기 분말로 덮은 후 튜브로에 넣고, 산소를 흘려주며 분당 15°C로 승온하여 850~950°C에서 4시간 유지한 후 노냉하였다. 소결 밀도는 물에서 알카메네스 방법으로 측정하였다. 유전 특성을 측정하기 위하여 소결체의 양면을 평편하게 연마한 후 은 전극을 screen printing으로 입혔다. 실온에서의 유전 상수와 손실은 1 KHz에서 Impedance-Gain Phase Analyzer (Model 4194A, Hewlett-Packard Inc., 미국)을 사용하여 측정하였으며, 전기저항은 25 V에서 picoammeter(4339A, Hewlett-Packard Inc., 미국)를 사용하여 측정하였다. 소결체의 미세구조는 다이아몬드 3 μm, 1 μm 페이스트로 표면 연마 후 800°C에서 30분 thermal etching한 표면을 SEM (Model S-2400, Hitachi Co., 일본)으로 관측하였다. XRD (Model D/Max-3A, Rigaku Co., 일본)와 SEM에서는 Ag가 나타나지 않아 SIMS(Model PHI-7200 TOF SIMS/SALI system, Perkin-Elmer Co., 미국)로 관측하였다. SIMS의 분해능이 1 μm 이어서 1 μm 이하의 입자는 정성적으로만 확인이 가능하다.

3. 실험결과 및 논의

PBT/Ag의 전구체의 질량 감소는 Fig. 1의 TG/DSC에서 보듯이 530°C 이상에서는 더 이상 일어나지 않았다. 400~600°C에서 DSC 곡선이 복잡한 것은 PMN-PT 경우의 파이로크로 중간 상이 생성되는 경우와 흡사하며 600~800°C의 broad한 흡열 피크는 페로브스카이트 상 형성에 기인하는 것으로 사료된다.⁷⁾ 질량의 감소가 더 이상 일어나지 않는 600°C에서 1시간 하소한 PBT/Ag 분말에 MgO 줄을 첨가한 후 DSC의 변화를 측정한 Fig. 2의 DSC 곡선에서 MgO 줄의 첨가량이 증가함에 따라서 300°C 부근의 발열

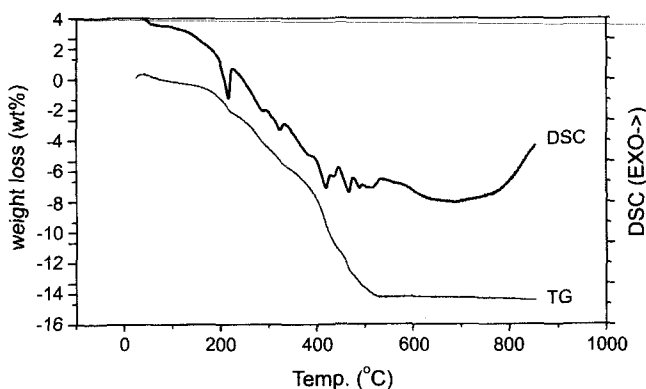


Fig. 1. TG/DSC curves of the PMN-PT-BT/Ag precursor heated at a rate of $10^{\circ}\text{C}/\text{min}$ under flowing air.

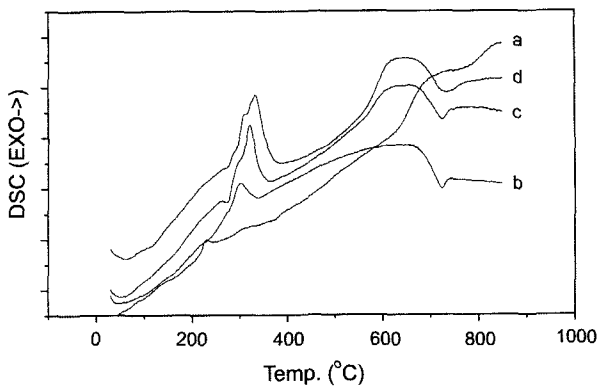


Fig. 2. DSC curves of the PBT/Ag precursors heated at $600^{\circ}\text{C}/1\text{ h}$ and treated with various amount of the Magnesia sol. : (a) 0 wt%, (b) 0.1 wt%, 0.5 wt% and (d) 1.0 wt%.

피크가 강해지는데, 이는 MgO 졸이 첨가로 인한 유기물의 연소에 기인한 것이다. 페로브스카이트 상형성에 기여하는 Fig. 2(a)의 약 790°C 의 흡열 피크는 MgO 졸이 첨가량이 0.1 wt%, 0.5 wt%, 1.0 wt%로 증가함에 따라 약 724°C 로 낮아짐을 볼 수 있었다. 흡열 피크의 위치가 MgO 졸의 양에 거의 영향을 받지 않는 것은 페로브스카이트 상 형성에 쓰이는 MgO 의 양은 0.1 wt%는 좀 넘고, 0.5 wt%는 안됨을 알 수 있었다. 이런 현상은 하소온도에 따른 상발달을 나타낸 Fig. 3의 XRD에서도 볼 수 있었다. MgO 졸이 0.5 wt%, 1.0 wt% 첨가된 경우는 870°C 열처리에서도 페로브스카이트 단일상을 얻을 수 있었다. 그러나 MgO 졸이 첨가되지 않은 분말은 950°C 열처리에서야 파이로크로 상이 나타나지 않았다. XRD 피크의 위치가 변하지 않은 것은 과잉의 MgO 가 고용체를 형성하지 않고 2차상으로 남아있기 때문이라고 사료된다. 그러나 XRD 상에서는 $\text{MgO}(2\theta=43^{\circ})$ 의 주 피크가 나타나지 않음은 MgO 의 양이 적기 때문으로 사료된다. 그러나 XRD 상에서는 $\text{MgO}(2\theta=43^{\circ})$ 의 주 피크가 나타나지 않음은 MgO 의 양이 적기 때문으로 사료된다.

MgO 졸의 첨가량과 소결밀도와의 관계를 나타낸 Fig. 4

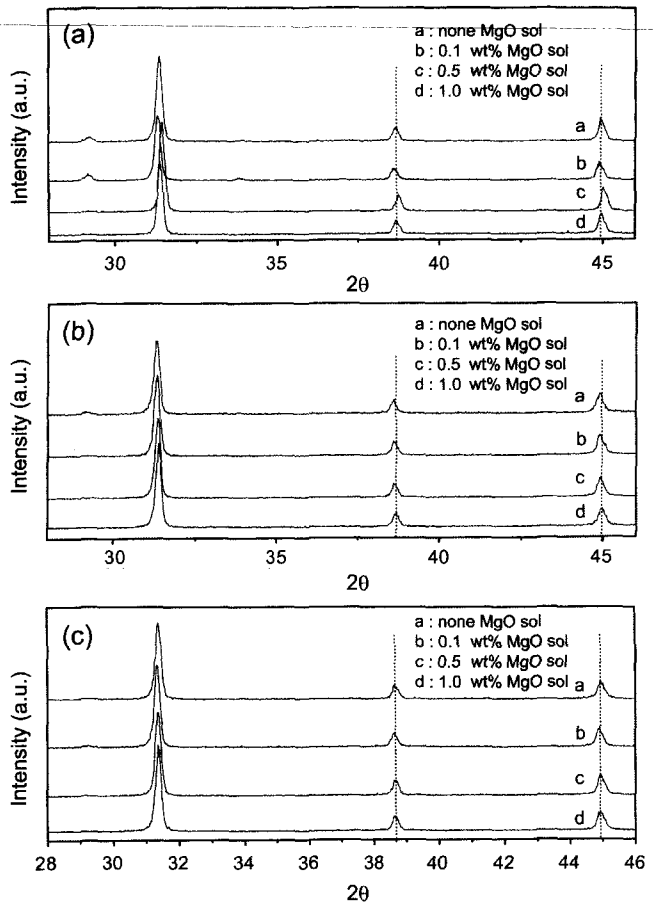


Fig. 3. XRD patterns of various PBT/Ag powders obtained by calcination for 2 h at : (a) 870°C , (b) 900°C and (c) 950°C .

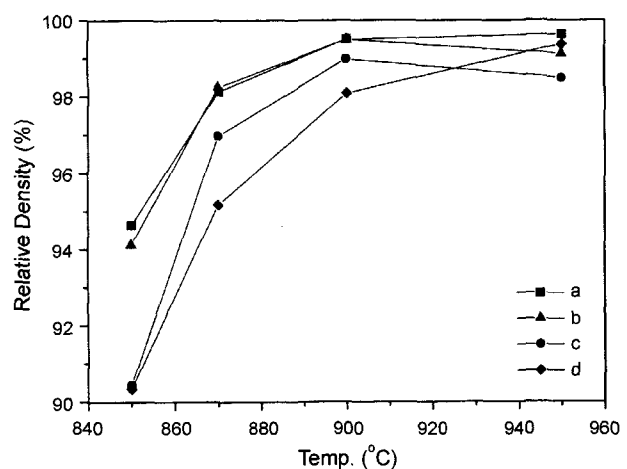


Fig. 4. Densities of the PBT/Ag/ MgO nanocomposites treated with various amount of MgO sol as a function of sintering temperature : (a) 0 wt%, (b) 0.1 wt%, (c) 0.5 wt% and (d) 1.0 wt%.

에서 MgO 졸이 첨가되지 않은 (a)의 경우 상대 소결밀도가 가장 높아 900°C , 950°C 소결에서 99.5% 이상을 보여

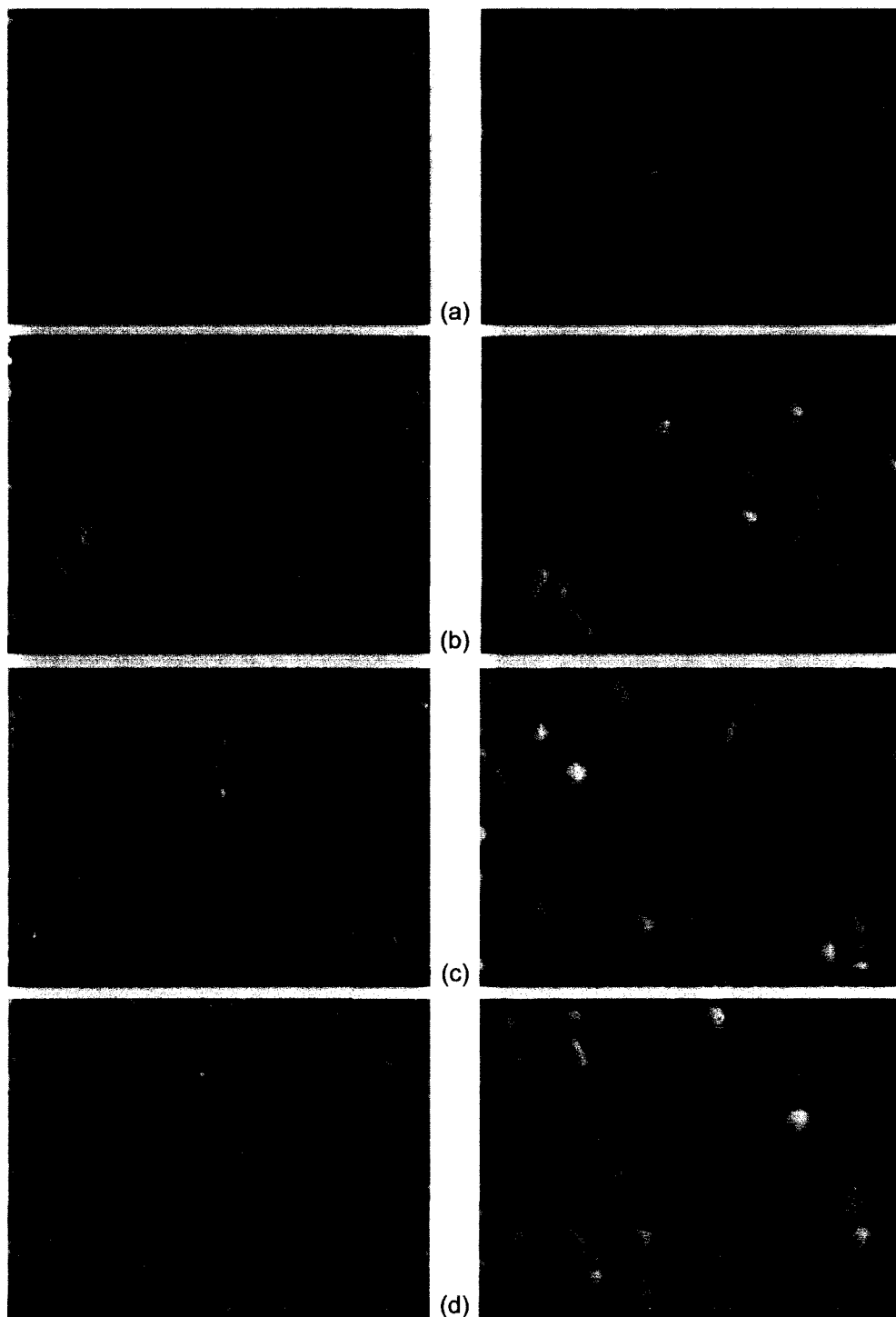


Fig. 5. SEM pictures of the polished and thermally etched surfaces of the PMN-PT-BT/Ag/MgO nanocomposites treated with various amount of the MgO sol and sintered at 900°C/4 h in oxygen : (a) 0 wt%, (b) 0.1 wt%, (c) 0.5 wt% and (d) 1.0 wt%.

주었다. 이는 *in situ*에서 생성된 나노크기의 TiO₂와 Ag 입자의 향상된 반응성에 기인하였다고 사료된다. 0.1 wt% MgO 졸이 첨가된 (b)의 경우도 거의 (a)와 같은 소결성이 보여 주었다. 그러나, 0.5 wt% MgO 졸(c)과 1.0 wt%

MgO 졸(d)이 첨가된 경우는 소결성이 약간 멀어져 900°C 경우 각각 98.9%, 98.1%를 나타냈으나, 그러나 (d)의 950°C 소결에서는 99.4%로 증가하였다. 즉 900–950°C 소결로 전자세라믹으로서는 만족할 만한 소결밀도를 얻을

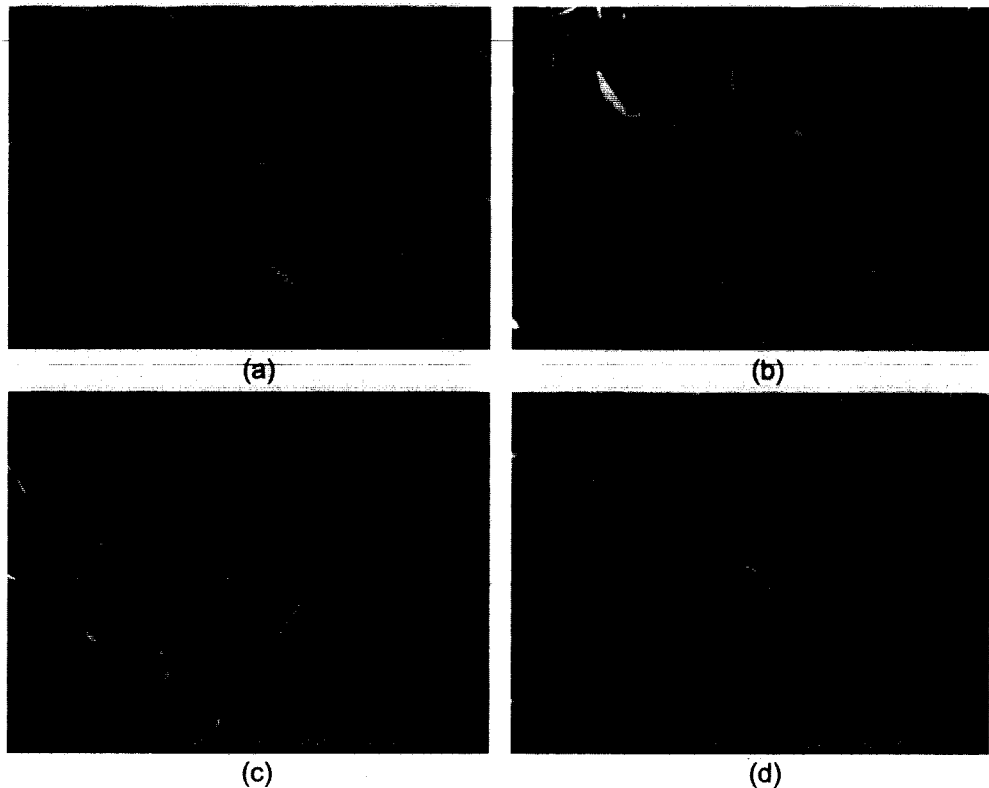


Fig. 6. SEM pictures of the fractured surfaces of the PMN-PT-BT/Ag/MgO nanocomposites treated with various amount of the MgO sol and sintered at 900°C/4 h in oxygen : (a) 0 wt%, (b) 0.1 wt%, (c) 0.5 wt% and (d) 1.0 wt%.

수 있었다.

이들 900°C 소결체의 미세구조를 보여주는 Fig. 5를 보면 입의 크기가 1~3 μm로 대체로 균일하며, 기공도 거의 보이지 않는다. MgO 졸이 증가하면, 2차상이 눈에 띄게 증가함을 볼 수 있다. 0.1~0.3 μm의 MgO가 입계, 삼중점, 입내에 둥글고 검게 나타나고, (d)의 경우 흰 사각형의 ~0.2 μm의 입자와 코팅된 ~0.3 μm의 구형의 입자가 보인다. 이들은 주로 MgO 2차상으로 간주되었으며, 왜 다른 색깔로 나타나며 사각으로 석출되는 현상을 해명하기 위한 후속 실험이 진행되고 있다. Fig. 6의 파단면 SEM 사진은, MgO 졸의 첨가량이 증가함에 따라 파단시 떨어져나간 MgO의 작은 빈 구멍이 눈에 띄게 많아짐을 볼 수 있다. 이는 Fig. 5의 SEM 사진과 잘 일치하며 나노복합체가 형성되었음을 말해준다. 그러나 Ag는 SEM에서 잘 나타나지 않아 해상도가 ~1 μm의 SIMS로 정성적으로 관측하였다. Figs. 7과 8의 PMN-PT-BT/Ag/MgO(0 wt%)와 PMN-PT-BT/Ag/MgO(0.5 wt%)의 Ag^{107} image를 보면 Ag가 엉키지 않고 고르게 분포되어 있음을 볼 수 있다. 또한 MgO 졸이 첨가되지 않은 경우는 870°C에서 950°C로 소결 온도가 증가함에 따라 Ag^{107} 점들이 더 명확하고 크게 나타남을 볼 수 있다. 0.5 wt% MgO 졸이 첨가된 경우인 Fig. 8를 보면 Ag가 870°C 소결체에서는 보이지 않고

900°C 소결체에서도 서너개의 작은 흰 점외에는 거의 보이지 않으나, 950°C 소결체에서는 명확하게 나타나는 것을 볼 수 있다. 이는 소결온도가 증가함에 따라 Ag가 점점 커져감을 나타낸다. Mg image를 보면 MgO가 전체적으로 분포되어 있으며, (0.5 wt%)의 경우가 (0 wt%) 보다 더 많이 나타남은 950°C 소결체들에서는 명확하다. 그러나 (0.5 wt%)의 900°C 소결체에서는 Mg image가 거의 나타나지 않음은 Mg 입자가 매우 작음을 의미한다. 또한 MgO 졸이 첨가된 소결체에서는 intrafracture가 일부에서 일어남을 볼 수 있다. 이는 기계적 강도가 향상되었을 것을 예측하게 한다.

이러한 관측으로부터 MgO 졸을 이용하여 PBT/Ag 분말 표면을 개질함으로서 Ag, MgO 입자의 크기를 900°C 이하에서 나노 크기로 분포시킬 수 있을 것으로 사료된다. 위의 실험 결과로부터 표면 개질 방법으로 입 크기를 작게 하며, intrafracture가 주로 일어나게 한다면 기계적 강도가 크게 향상될 것으로 기대되어 이에 관한 연구가 진행 중이다.

이들 나노복합체의 유전 특성을 보여주는 Fig. 9에서 900°C 소결체의 경우, MgO 졸의 첨가량이 0.1, 0.5, 1.0 wt%로 증가함에 따라 상온 유전율이 21600에서 21000, 20100, 16400으로 감소하며, 유전손실은 약 5.5% 정도로 비슷하

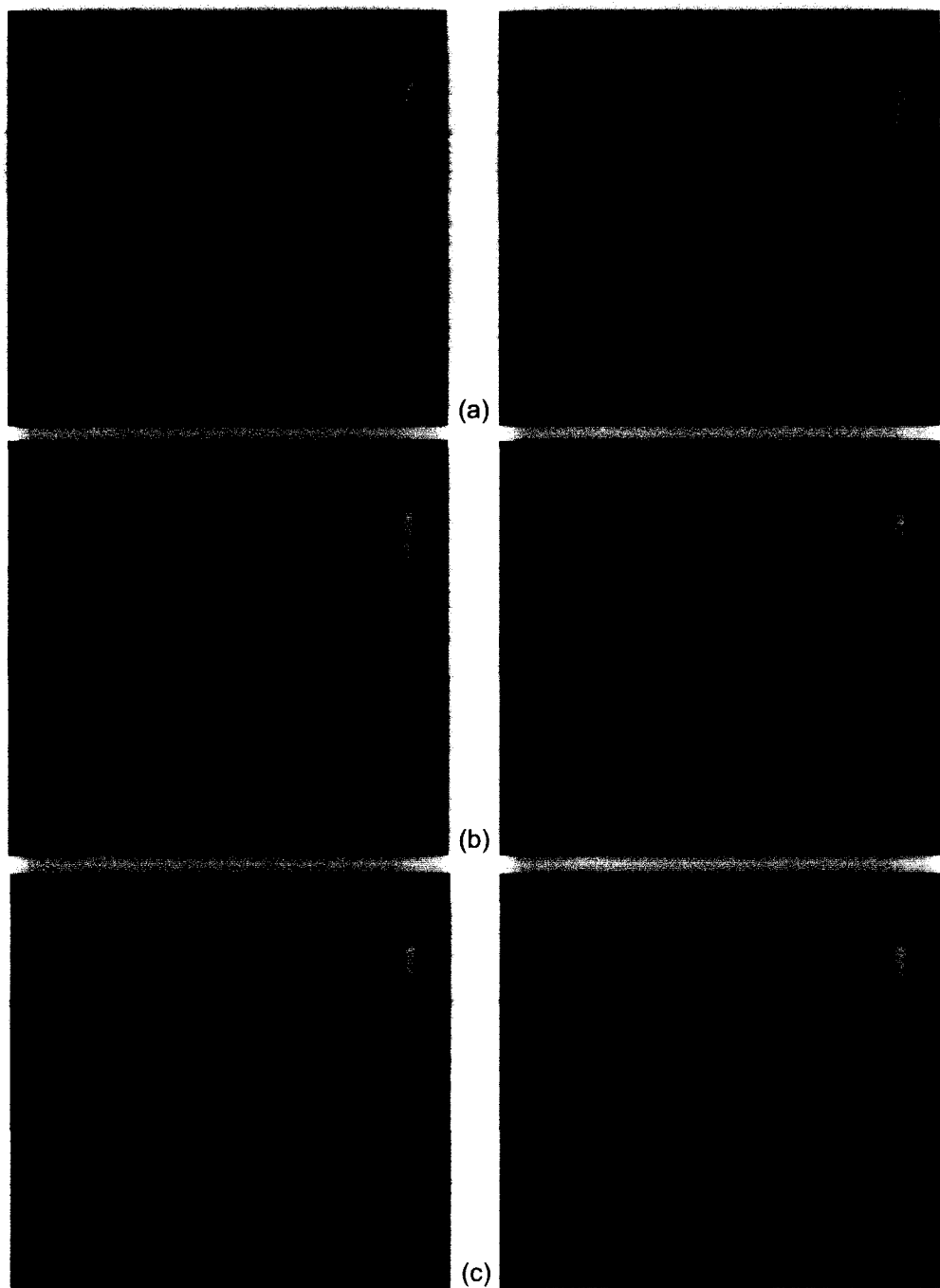


Fig. 7. SIMS micrographs of the images of Ag^{107} and Mg of the PBT/Ag/MgO(0 wt%) nanocomposites sintered at various temperatures for 4 h in oxygen at : (a) 870°C , (b) 900°C and (c) 950°C .

였다. 그러나 소결온도가 950°C 로 증가하면 유전율은 감소하는 대신 유전손실은 2.2%로 줄어들었다. 비저항은 $>10^{12} \Omega \cdot \text{cm}$ 으로 나타나며, 950°C 소결체의 경우 $5 - 7 \times 10^{12} \Omega \cdot \text{cm}$ 으로 높은 값을 보여 주었다.

위의 실험 결과로부터 1200°C 에서야 소결이 가능한 PMN-PT-BT 유전체에 소량의 Ag와 MgO을 2차상으로 첨

가하여 나노 복합분말을 만들었으나 $900 - 950^{\circ}\text{C}$ 의 저온 소결로 우수한 유전 특성을 가지는 PMN-PT-BT/Ag/MgO 나노복합체를 얻을 수 있었다. 이러한 2차상 MgO와 Ag를 가지는 나노복합체의 기계적 강도의 향상이 예상되므로 나노복합체의 기계적 특성과 유전특성과의 관계에 관한 연구가 본 실험실에서 진행 중이다.

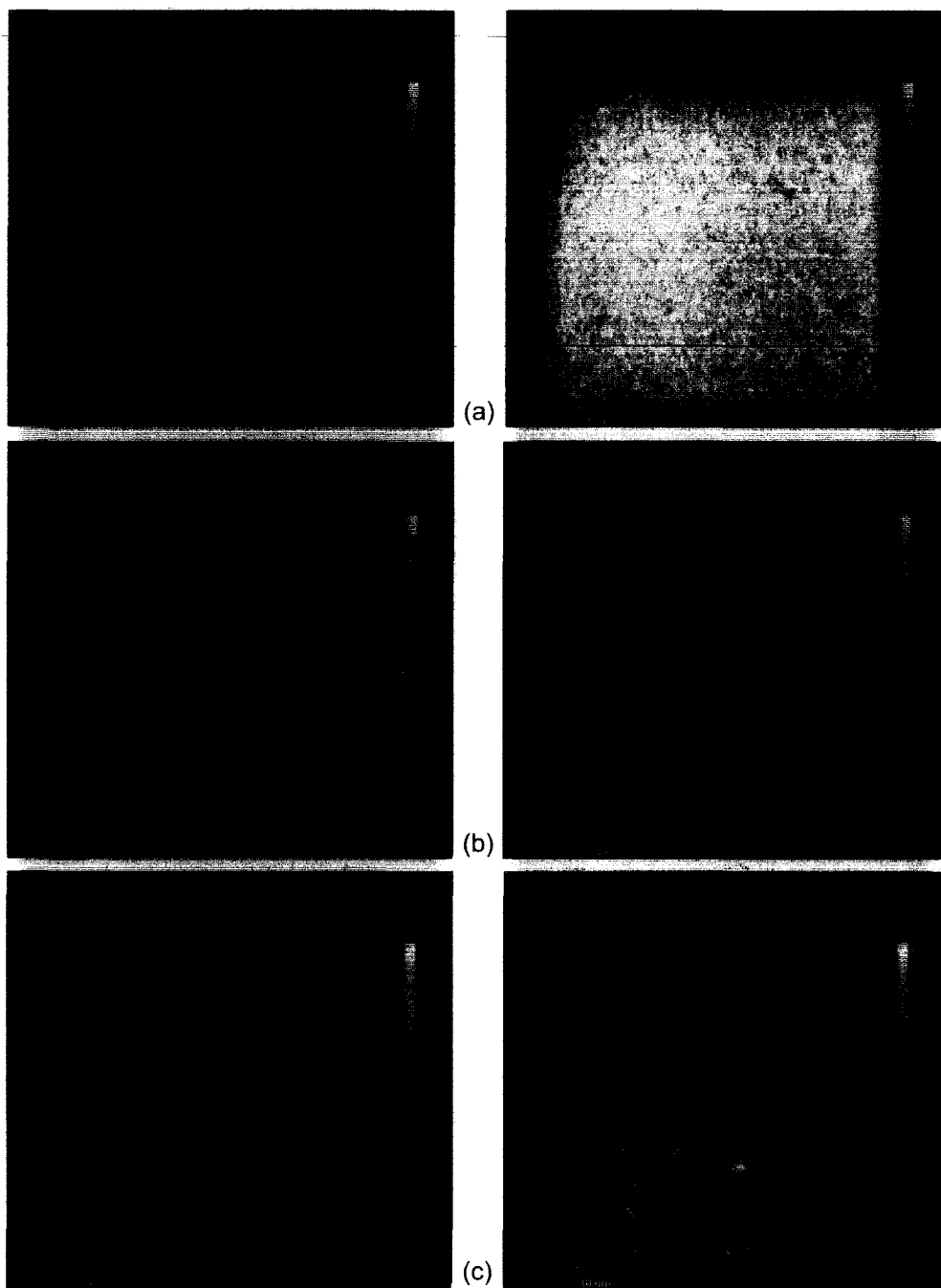


Fig. 8. SIMS micrographs of the image of Ag^{107} and image of Mg of the PBT/Ag/MgO(0.5 wt%) nanocomposites sintered at various temperatures for 4 h in oxygen at : (a) 870°C, (b) 900°C and (c) 950°C.

4. 결 론

Modified mixed oxide method을 이용하여 저온 소결이 가능한 PMN-PT-BT/Ag 분말에 MgO 졸을 0, 0.1, 0.5, 1.0 wt% 첨가하여 산소분위기에서 850–950°C에서 4시간 소결로 MgO와 Ag가 이차상으로 존재하는 PMN-PT-BT/Ag/MgO 나노복합체를 제조하였다. 이 공정 연구에서 다

음과 같은 결과를 얻을 수 있었다.

1. PMN-PT-BT/Ag 분말은 900–950°C 소결에서 상대소결밀도 99.5%와 우수한 유전특성을 보여 주었으며, 1–3 μm 입에 ≪1 μm의 Ag가 2차상으로 분산되어 있는 나노복합체를 얻을 수 있었다.

2. PMN-PT-BT/Ag 분말을 600°C에서 1시간 하소한 분말을 0.1–1.0 wt%의 MgO 졸로 표면 개질하여 900–950°C

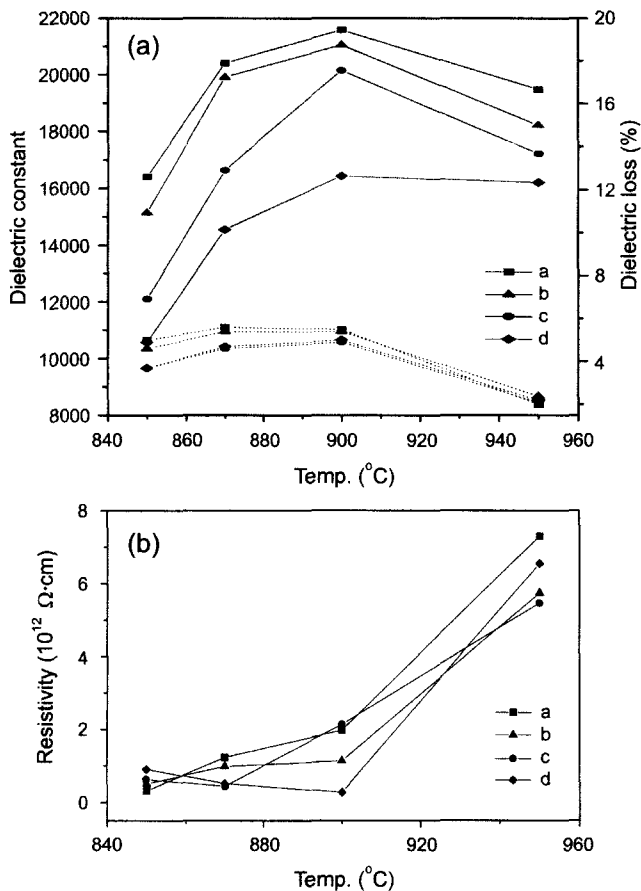


Fig. 9. Dielectric properties and resistivity of the PMN-PT-BT/Ag/MgO nanocomposites treated with various amount of the MgO sol and sintered at various temperatures for 4 h in oxygen : (a) 0 wt%, (b) 0.1 wt%, (c) 0.5 wt% and (d) 1.0 wt%.

소결로 PMN-PT-BT/Ag/MgO 나노복합체를 상대 소결밀도 >98%로 제조하였으며, 미세구조는 1~3 μm 입내에 0.1~0.3 μm의 MgO와 ≪1 μm의 Ag의 2차상으로 이루어져 있었다.

3. MgO 콜의 첨가량이 증가할수록 MgO 2차상의 양이 증가하였으며, 소결밀도는 감소하였으며, 유전율은 낮아지고, 유전손실도 낮아졌다.

4. 나노복합체의 유전손실이 ~2%로 낮고, 비저항은 >5×10¹²으로 높은 유전특성을 주는 950°C가 적합한 소결온도로 사료되었다.

5. MgO 콜에 의한 표면 개질시 과정으로 들어간 MgO 가 나노입자의 2차상을 형성하였다.

감사의 글

본 연구는 한국과학기술연구원의 기관고유사업비(2E17413)의 지원으로 수행되었으며, 이에 감사드립니다.

REFERENCES

- L. E. Cross, "Relaxor Ferroelectrics," *Ferroelectrics*, **76**, 241-67 (1987).
- S. Nomura and K. Uchino, "Electrostrictive Effect in Pb(Mg_{1/3}Nb_{2/3})O₃-type Materials," *Ferroelectrics*, **41**, 117-32 (1982).
- K. Uchino, "Electrostrictive Actuators: Materials and Applications," *Am. Ceram. Soc. Bull.*, **65** [4] 647-56 (1986).
- S. L. Swartz and T. R. Shrout, "Fabrication of Perovskite Lead Magnesium Niobate," *Mater. Res. Bull.*, **17** 1245-50 (1982).
- M. F. Yan, H. C. Ling and W. W. Rhodes, "Effects of Dopants on PbO-MgO-Nb₂O₅ Ceramics Near the Pb(Mg_{1/3}Nb_{2/3})O₃ Composition," *J. Mater. Res.*, **4** 945-66 (1989).
- Y. S. Cho, S. M. Pilgrim and H. Giesche, "Dielectric and Electro-mechanical Properties of Chemically Modified PMN-PT-BT Ceramics," *J. Am. Ceram. Soc.*, **83** [10] 2473-80 (2000).
- K. R. Han, S. Kim and H. J. Koo, "New Preparation Method of Low-temperature-sinterable Perovskite 0.9Pb(Mg_{1/3}Nb_{2/3})O₃-0.1PbTiO₃ Powder and its Dielectric Properties," *J. Am. Ceram. Soc.*, **81** [11] 2998-3000 (1998).
- U. Syamaprasad, A. R. Sheeja Nair, M. S. Sarma, P. Guruswamy, P. S. Mukherjee, L. Krishnamurthy, M. Achuthan and A. D. Damodaran, "Multilayer Capacitor Ceramics in the PMN-PT-BT System : Effect of MgO and 4PbO B₂O₃ Addition," *J. Mater. Sci. : Materials in Electronics*, **8** 199-205 (1997).
- M. R. Winter, S. M. Pilgrim and M. Lejeune, "Study on the Effect of Lanthanum Doping on the Microstructure and Dielectric Properties of 0.9Pb(Mg_{1/3}Nb_{2/3})O₃-0.1PbTiO₃," *J. Am. Ceram. Soc.*, **84** [2] 314-20 (2001).
- H. J. Hwang, T. Nagai, T. Ohji, M. Sando, M. Toriyama and K. Niihara, "Curie Temperature Anomaly in Lead Zirconate Titanate/Silver Composites," *J. Am. Ceram. Soc.*, **81** [3] (1998).
- Y. Sato, H. Kanai and Y. Yamashita, "Effects of Silver and Palladium Doping on the Dielectric Properties of 0.9Pb(Mg_{1/3}Nb_{2/3})O₃-0.1PbTiO₃ Ceramic," *J. Am. Ceram. Soc.*, **79** [1] 261-65 (1996).
- K. R. Han, S. Jeong and C. S. Kim, "Preparation of PMN-PT-BT Powder by Modified Mixed Oxide Method and Effect of Ag on Dielectric Properties," *J. Kor. Ceram. Soc.*, **39** [2] 159-63 (2002).
- K. R. Han, S. Jeong and C. S. Kim, "Preparation of PMN-PT-BT/Ag Composite and its Mechanical and Dielectric Properties," *J. Kor. Ceram. Soc.*, Accepted.
- K. R. Han, H. J. Hwang, K. Tajima and M. Sando, "PZT Nanocomposites Reinforced by Small Amount of Oxides," *J. Euro. Ceram. Soc.*, **19** 1179-82 (1999).
- T. Nagai, H. J. Hwang, M. Yasuoka, M. Sando and K. Niihara, "Preparation of a Barium Titanate-dispersed-magnesia Nanocomposite," *J. Am. Ceram. Soc.*, **81** [2] 425-28 (1998).
- H. J. Hwang, T. Nagai, M. Yasuoka, M. Sando and K. Niihara, "Fabrication of Piezoelectric Particle-dispersed Ceramic Nanocomposite," *J. Euro. Ceram. Soc.*, **19** 993-97 (1999).

17. T. Nagai, K. Iijima, H. J. Hwang, M. Sando, T. Sekino and K. Niihara, "Effect of MgO Doping on the Phase Transformations of BaTiO₃," *J. Am. Ceram. Soc.*, **83** [1] 107-12 (2000).
18. K. Niihara, H. J. Hwang, K. Watari, M. Sando and M. Toriyama, "Low-temperature Sintering and High-strength Pb(Zr,Ti)O₃-matrix Composites Incorporating Silver Particle," *J. Am. Ceram. Soc.*, **80** [3] 791-93 (1997).
19. K. Niihara, H. J. Hwang, M. Yasuoka, M. Sando and M. Toriyama, "Fabrication, Sinterability and Mechanical Properties of Lead Zirconate Titanate/Silver Composites," *J. Am. Ceram. Soc.*, **82** [9] 2417-22 (1999).
20. K. Niihara, H. J. Hwang, K. Tajima, M. Sando and M. Toriyama, "Fatigue Behavior of PZT-based Nanocomposites with Fine Platinum Particles," *J. Am. Ceram. Soc.*, **81** [12] 3325-28 (1998).
21. J. Li, K. Takagi, N. Terakubo and R. Watanabe, "Electrical and Mechanical Properties of Piezoelectric Ceramic/Metal Composites in the Pb(Zr,Ti)O₃/Pt System," *Appl. Phys. Lett.*, **79** [15] 2441-43 (2001).